

Animation de personnage : motion capture et animation physique

Alexandre Meyer
M2pro



1

CharAnimation : mocap VS physique

- Mocap
 - + Réalisme
 - Réalisme pour 1 animation
 - Système lourd
 - Edition fastidieuse (souvent intervention humaine)
 - Animation physique
 - + Tout automatique
 - Tout automatique
- ➔ Mélanger les deux!!

M2R 2

(Parenthèse : physique -cf. cours Fzara-

- Particule = 1 point animé
 - P = position = (X(t), Y(t), Z(t)) = (X_t, Y_t, Z_t)
au temps précédent (X_{t-Δt}, Y_{t-Δt}, Z_{t-Δt})
sous entendu temps_suivant = t+Δt
 - V = vitesse = dP/dt

$$V_t = \frac{dP}{dt} = \lim_{\Delta t \rightarrow 0} \frac{\Delta P}{\Delta t} \approx \frac{P_t - P_{t-\Delta t}}{\Delta t}$$

M2R 3

Euler explicite

- Particule = 1 point animé
 - A = accélération = dV/dt
- $$A_t = \frac{dV}{dt} = \lim_{\Delta t \rightarrow 0} \frac{\Delta V}{\Delta t}$$
- $$\approx \frac{V_t - V_{t-\Delta t}}{\Delta t}$$
- $$\approx \frac{P_t - P_{t-\Delta t} - (P_{t-\Delta t} - P_{t-2\Delta t})}{\Delta t^2}$$
- $$\approx \frac{P_t - 2P_{t-\Delta t} + P_{t-2\Delta t}}{\Delta t^2}$$

M2R 4

Euler explicite

- En connaissant la position au 2 temps précédents,

$$\sum F = F = mA$$

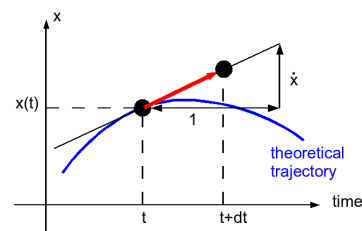
$$A_t \approx \frac{P_t - 2P_{t-\Delta t} + P_{t-2\Delta t}}{\Delta t^2}$$

$$\text{donc} \Rightarrow P_t = \Delta t^2 \times \frac{F}{m} + 2P_{t-\Delta t} - P_{t-2\Delta t}$$

M2R 5

Euler explicite

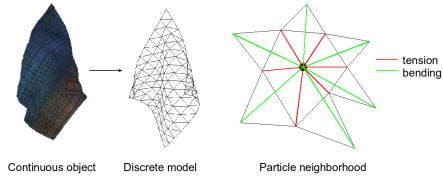
- Approximation de A et V
 - Mise à jour suit la tangente
 - Pour être stable Δt doit être petit



M2R 6

Système masse-ressort

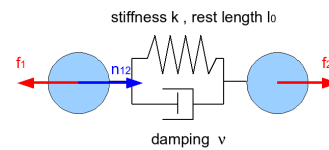
- Sommet = particles, arêtes = ressort



- Simple mais paramètres difficiles à régler

M2R 7

Système masse-ressort



- Force viscoelastique (k =raideur du ressort)

- Force de rappel : $F = -k \cdot (l - l_0)$

- F Viscosité

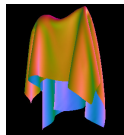
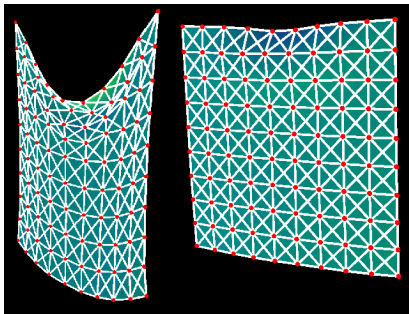
$$f_1 = \left(k \frac{\|q_2 - q_1\| - l_0}{l_0} + \nu (\dot{q}_2 - \dot{q}_1) \cdot n_{12} \right) n_{12}$$

$$n_{12} = \frac{q_2 - q_1}{\|q_2 - q_1\|}$$

M2R 8

Exemple d'utilisation : tissu

- Maillage de masse-ressort



M2R 9

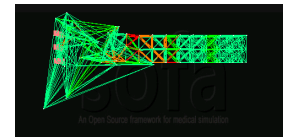
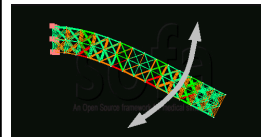
Système masse-ressort

- Raideur du ressort : k

- $F = -k \cdot (l - l_0)$

- K petit (objet « mou »)

- K élevé (objet rigide) : stabilité demande dt petit sinon le système explose



M2R 10

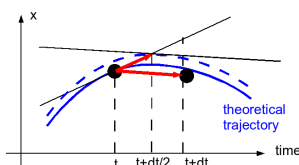
Schéma d'intégration

- Runge-Kutta

- Calcul un pas de temps $dt/2$ fictif avec Euler
- Calcul la dérivée
- Utilise cette dérivée pour un pas de temps

→ erreur proportionnelle à dt^2 au lieu de dt

- Plus stable mais reste des instabilités



D'autres méthodes d'intégrations existent

M2R 11

Schéma d'intégration

- Verlet

$$P_{t+\Delta t} = 2P_t - P_{t-\Delta t} + \Delta t^2 \times A_t$$

D'autres méthodes d'intégrations existent

M2R 12

Position Based Dynamics

Développeur de NVIDIA Physics
<http://matthias-mueller-fischer.ch/>

Mise à jour de V :

$$m\mathbf{A}_i = \mathbf{F}$$

$$m \frac{d\mathbf{V}}{dt} = \mathbf{F}$$

$$m \frac{\mathbf{V}_i - \mathbf{V}_{i-\Delta t}}{\Delta t} = \mathbf{F}$$

$$\mathbf{V}_i = \mathbf{V}_{i-\Delta t} + \Delta t \frac{\mathbf{F}}{m}$$

Puis mise à jour de P :

$$\frac{d\mathbf{P}}{dt} = \mathbf{V}_i$$

$$\frac{\mathbf{P}_i - \mathbf{P}_{i-\Delta t}}{\Delta t} = \mathbf{V}_i$$

$$\mathbf{P}_i = \mathbf{P}_{i-\Delta t} + \Delta t \times \mathbf{V}_i$$

Variant : leap-frog, Stoermer-Verlet

M2R 13

Position Based Dynamics

<http://matthias-mueller-fischer.ch/>

Algorithm 1 Position-based dynamics

```

1: for all vertices i do
2:   initialize  $\mathbf{x}_i = \mathbf{x}_i^0, \mathbf{v}_i = \mathbf{v}_i^0, w_i = 1/m_i$ 
3: end for
4: loop
5:   for all vertices i do  $\mathbf{v}_i \leftarrow \mathbf{v}_i + \Delta t w_i \mathbf{f}_{\text{ext}}(\mathbf{x}_i)$ 
6:   for all vertices i do  $\mathbf{p}_i \leftarrow \mathbf{x}_i + \Delta t \mathbf{v}_i$ 
7:   for all vertices i do genCollConstraints( $\mathbf{x}_i \rightarrow \mathbf{p}_i$ )
8:   loop solverIteration times
9:     projectConstraints( $C_1, \dots, C_M + M_{\text{coll}}, \mathbf{p}_1, \dots, \mathbf{p}_N$ )
10:  end loop
11:  for all vertices i do
12:     $\mathbf{v}_i \leftarrow (\mathbf{p}_i - \mathbf{x}_i) / \Delta t$ 
13:     $\mathbf{x}_i \leftarrow \mathbf{p}_i$ 
14:  end for
15:  velocityUpdate( $\mathbf{v}_1, \dots, \mathbf{v}_N$ )
16: end loop

```

m_i	mass
\mathbf{x}_i	position
\mathbf{v}_i	velocity

M2R 14

Contraintes, collisions

Exemple : sol en $Y=0$ $y < 0$?



Différentes solutions

- Appliquer la force \mathbf{F}_{sol} de réaction du sol proportionnelle à la distance sous le sol
- Autorise la pénétration sous le sol mais la force va corriger le tissu au pas de temps suivant

OU

- ...

Avec $\Sigma \mathbf{F} = m\mathbf{a}$ on a équivalence entre \mathbf{F} et déplacement

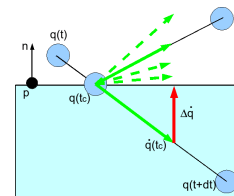
M2R 15

Collisions avec retour arrière

Détection d'une collision puis

- Revenir en arrière au moment de la collision : $\Delta \mathbf{V} = -(\mathbf{V} \cdot \mathbf{n})\mathbf{n}$
- Puis calcul de la mise à jour de \mathbf{V} : $\mathbf{V} \leftarrow \mathbf{V} + \Delta \mathbf{V}$
- Applique un coefficient r de rebond : $\mathbf{V} \leftarrow (1+r) \mathbf{V}$

- Problème : assez lourd de revenir en arrière quand les 2 objets sont en mouvements



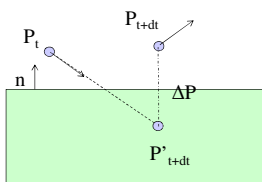
Sur la figure $\mathbf{P} = \mathbf{q}$
et $\mathbf{V} = \dot{\mathbf{q}}$

M2R 16

Collisions

Détection d'une collision puis

- Mise à jour de \mathbf{P} : $\Delta \mathbf{P} = 2 \times$ vecteur entre \mathbf{P}' et le sol (symétrique de \mathbf{P}' par rapport au sol)
- Applique un coefficient r de rebond : $\mathbf{P} \leftarrow (1+r) \Delta \mathbf{P}$
- Mise à jour de \mathbf{V} : symétrique par rapport au sol

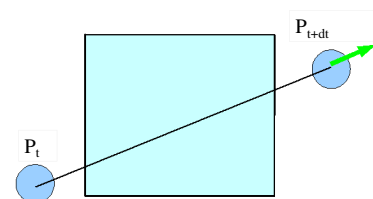


+ Résolutions simultanées des collisions de tous les objets en même temps

M2R 17

Collisions

Cas limite de détection de collision avec pas de temps discret



M2R 18

Solide rigide

- Idem point
 - Physique du point : $\sum F = ma$
- + orientation (rotation)
 - $\sum L = I \cdot \omega$
 - Somme des moments des forces extérieures = moment d'inertie du solide * Accélération angulaire

Remarque : Un mouvement au sens le plus général peut être considéré à chaque instant comme la superposition d'une translation et d'une rotation autour d'un axe. (par exemple le mouvement d'une bille sur un plan incliné) Pour résoudre les équations du mouvement, les 2 équations ci-dessus sont nécessaires

M2R 19

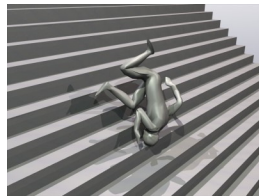
Fin de parenthèse : physique)

M2R 20

Ragdoll = poupée désarticulée

- Poupée désarticulée
 - Corps = ensemble de membres + articulation
 - Membre = solide rigide (cube, capsule, etc.)
 - Articulation = contrainte de liaison entre les membres

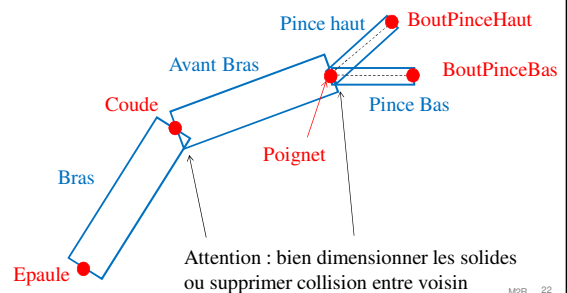
- Vidéo
- Ou démo Bullet
 - <http://bulletphysics.org/>



M2R 21

Ragdoll = poupée désarticulée

- Articulation = contraintes
- Membre = solide rigide animé



M2R 22

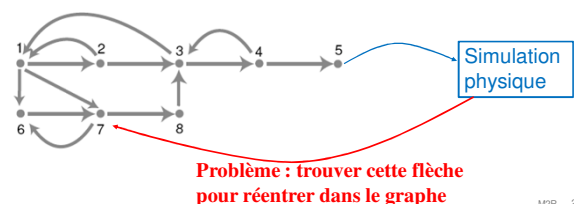
Physique : Newton + contraintes

- Un cycle de calcul physique =
 - Equation physique sur chaque partie du corps
 - Newton : $\sum F = ma$ et $\sum L = I \cdot \omega$
 - Résolution des contraintes
 - Connexion des articulations
- pour ragdoll globalement 2 méthodes :
- Featherstone, R. (1987). *Robot Dynamics Algorithms*. Kluwer.
ISBN 0-89838-230-0.
- ou
- D. Baraff. Linear-time dynamics using Lagrange multipliers.
SIGGRAPH 1996

M2R 23

MoCap/Physique : graphe d'animation

- Graphe d'animation + physique
 - Comporte des nœuds de sortie vers la physique
- Utilisable seulement dans certains cas
 - Chute, coups, ...



M2R 24

MoCap/Physique : graphe d'animation

- Graphe d'animation + physique
 - Problème : rentrer dans le graphe après la physique
 - ➔ Anticiper quelques frames de physique et chercher les similitudes de positions
 - ➔ Ajouter des forces « virtuelles » sur les articulations pour les diriger vers une position du graphe
 - ➔ Demande un graphe de MoCap bien rempli avec des séquences pour se relever, rouler, etc.

VIDEO

M2R 25

MoCap/Physique : graphe d'animation

- Forces « virtuelles »
 - Amener chaque articulation vers l'angle désiré
 - Proportional-derivative (PD) control

$$\tau = \underbrace{k_p(\theta_d - \theta)}_{\text{Respond to changes.}} - \underbrace{k_d\dot{\theta}}_{\text{Damp}}$$

M2R 26

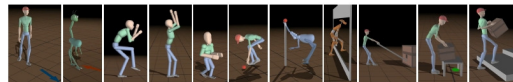
Encore plus loin : tout physique

- Objectifs
 - Animations plus réalistes/réactives : poids, fatigue, etc.
 - Editer les effets physiques : changer gravité, etc.
- Principe
 - On part d'un ragdoll et on essaie de lui donner un contrôle moteur = un « cerveau » dédié à l'animation
 - Un graphe d'animation peu jouer le rôle de « mémoire » de mouvements
- Problèmes
 - Contrôle de l'équilibre (*balance control strategy*)
 - Combiner le mouvement entre la mocap et le réactif
 - ...

M2R 27

Encore plus loin : tout physique

- Domaine de recherche
 - SIMBICON (SIMple Biped CONtroller) 2007
 - A bien relancé l'idée en recherche CG



- Idée très présente en robotique
 - incompatibilité entre mocap humaine et robot
 - Avec des problèmes supplémentaires
 - Contrôle/Réactivité des moteurs



M2R 28

Stratégie : contrôle de l'équilibre

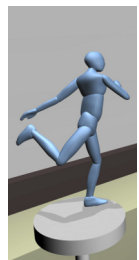
- Stratégie qui semble marcher [MZS09,JYL09]
 - Optimisation + machine à état
 - ➔ Problème complexe à l'état de recherche
- Optimisation : Fonction = stabilité
 - Projection du centre de gravité sur le sol
 - Comparer à la position des pieds
 - ➔ Fournir une fonction indicateur de stabilité
 - Dépend des angles entre chaque articulation
 - ➔ Non linéaire (demande des méthodes d'optimisation adaptée)



M2R 29

Stratégie : contrôle de l'équilibre

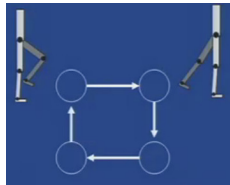
- Stratégie qui semble marcher [MZS09,JYL09]
 - Optimisation + machine à état
 - ➔ Problème complexe à l'état de recherche
- Machine à état
 - 2 pieds au sol
 - Optimisation de la position des bras et du buste pour maintenir l'équilibre
 - Lève un pied
 - Optimisation des bras, du buste et de la jambe
 - Etc.
- VIDEO



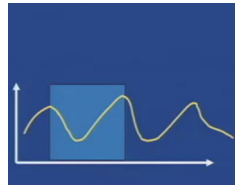
M2R 30

Marche : Machine à états finis

■ Marche cyclique



Automate Machine à états finis
(FSM : Finite State Machines)

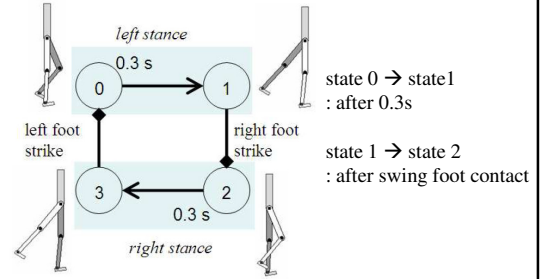


Motion capture

M2R 31

Marche : machine à états finis

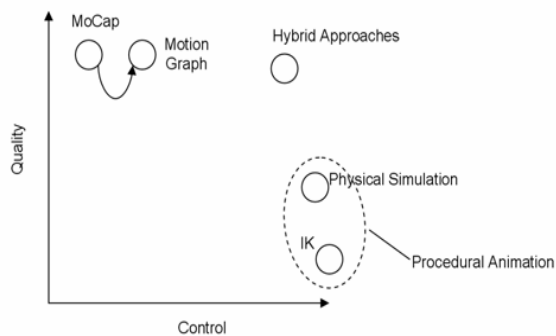
■ 4 états :



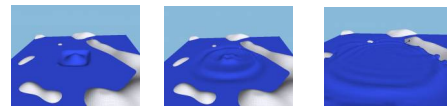
(SIMBICON) ... VIDEO

M2R 32

Conclusion : animation de perso



M2R 33



Animation physique d'une surface d'eau

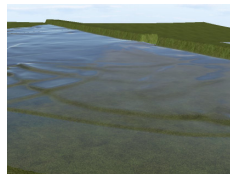
- Equation de Saint-Venant ou Shallow Water Equation
- TP : OpenGL + OpenCL



Equation de Saint-Venant

Equations de Saint-Venant ou Shallow Water equations

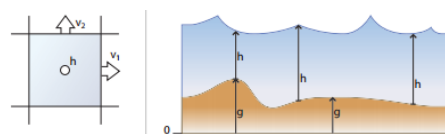
- Dérivée des eq. de Navier-Stokes
- [Real Time Physics](#), Siggraph 2008 class.
- décrit les écoulements naturels : surface libre et eau peu profonde
- Grille 2D Approche Eulerienne (!= particule, approche Lagrangienne)



M2R 35

Equation de Saint-Venant

- Grille 2D
- h hauteur du fluide
- g hauteur du sol
- n hauteur du fluide sur le sol : $n = h - g$.
- $v(v_1, v_2)$ vitesse du fluide dans le plan horizontal



M2R 36

Equation de Saint-Venant : intuitif

Equations de Saint-Venant (Shallow Water)

$$\frac{\partial \eta}{\partial t} + (\nabla \eta) \mathbf{v} = -\eta \nabla \cdot \mathbf{v} \quad (1) \text{ avec } \nabla \cdot \mathbf{A} \equiv \text{div} \mathbf{A} = \frac{\partial A_x}{\partial x} + \frac{\partial A_y}{\partial y} + \frac{\partial A_z}{\partial z}$$

$$\frac{\partial \mathbf{v}}{\partial t} + (\nabla \mathbf{v}) \mathbf{v} = a_n \nabla h, \quad (2)$$

- a_n : accélération verticale du fluide (gravité)=9.81
- (1) s'occupe de la variation de quantité d'eau
- (2) s'occupe de la variation de la vitesse

Partie gauche : calculer par **advection**

L'advection correspond au transport d'une quantité (scalaire ou vectorielle) par un champ vectoriel.

M2R 37

Equation de Saint-Venant

Equation de Saint-Venant (Shallow Water)

$$\frac{\partial \eta}{\partial t} + (\nabla \eta) \mathbf{v} = -\eta \nabla \cdot \mathbf{v} \quad (1)$$

$$\frac{\partial v_1}{\partial t} + (\nabla v_1) \mathbf{v} = a_n \nabla h \quad (2)$$

$$\frac{\partial v_2}{\partial t} + (\nabla v_2) \mathbf{v} = a_n \nabla h. \quad (3)$$

Partie gauche : calculer par **advection**

Advect(s, v)

```
(1) for j = 1 to n2 - 1
(2)   for i = 1 to n1 - 1
(3)     x = (i * Δx, j * Δy)
(4)     x' = x - Δt * v(x)
(5)     s'(i, j) = interpolate(s, x')
(6)   endfor
(7) endfor
(8) return(s')
```

L'advection correspond au transport d'une quantité (scalaire ou vectorielle) par un champ vectoriel.

M2R 38

Equation de Saint-Venant : intuitif

Equations de Saint-Venant (Shallow Water)

$$\frac{\partial \eta}{\partial t} + (\nabla \eta) \mathbf{v} = -\eta \nabla \cdot \mathbf{v} \quad (1)$$

$$\frac{\partial \mathbf{v}}{\partial t} + (\nabla \mathbf{v}) \mathbf{v} = a_n \nabla h, \quad (2)$$

- (1) correspond à la variation de quantité d'eau
 - Variation de la quantité d'eau = $dn/dt = -n \nabla \cdot \mathbf{v}$ = en fonction du champ de vitesse, on fait le bilan des arrivées des départs en eau
 - Si plus d'eau part, que d'eau arrive ($\nabla \cdot \mathbf{v} > 0$), ça descend.
 - Et inversement.

M2R 39

Equation de Saint-Venant

Equation de Saint-Venant (Shallow Water)

$$\frac{\partial \eta}{\partial t} + (\nabla \eta) \mathbf{v} = -\eta \nabla \cdot \mathbf{v} \quad (1)$$

$$\frac{\partial v_1}{\partial t} + (\nabla v_1) \mathbf{v} = a_n \nabla h \quad (2)$$

$$\frac{\partial v_2}{\partial t} + (\nabla v_2) \mathbf{v} = a_n \nabla h. \quad (3)$$

Partie gauche : calculer par advection

- (1) donne variation de n donc $n' = n - n \nabla \cdot \mathbf{v}$

Update-height(η, v)

```
(1) for j = 1 to n2 - 1
(2)   for i = 1 to n1 - 1
(3)     η(i, j) = η(i, j) * ( (v1(i+1, j) - v1(i, j)) / Δx + (v2(i, j+1) - v2(i, j)) / Δy ) Δt
(5)   endfor
(6) endfor
(7) return(η')
```

M2R 40

Equation de Saint-Venant : intuitif

Equations de Saint-Venant (Shallow Water)

$$\frac{\partial \eta}{\partial t} + (\nabla \eta) \mathbf{v} = -\eta \nabla \cdot \mathbf{v} \quad (1)$$

$$\frac{\partial \mathbf{v}}{\partial t} + (\nabla \mathbf{v}) \mathbf{v} = a_n \nabla h, \quad (2)$$

- (2) correspond à : m.a = m.dv/dt = ΣF
 - Ici F = a ∇h
 - le fluide subit une force dans la direction : de plus d'eau vers moins d'eau

M2R 41

Equation de Saint-Venant

Equation de Saint-Venant (Shallow Water)

$$\frac{\partial \eta}{\partial t} + (\nabla \eta) \mathbf{v} = -\eta \nabla \cdot \mathbf{v} \quad (1)$$

$$\frac{\partial v_1}{\partial t} + (\nabla v_1) \mathbf{v} = a_n \nabla h \quad (2)$$

$$\frac{\partial v_2}{\partial t} + (\nabla v_2) \mathbf{v} = a_n \nabla h. \quad (3)$$

Partie gauche : calculer par advection

- (2)(3) donnent variation de v donc

$$v_1 = v_1 + a_n \nabla h_1 \quad \text{avec } \nabla h_1 = dh/dx$$

$$v_2 = v_2 + a_n \nabla h_2 \quad \text{avec } \nabla h_2 = dh/dy$$

Update-velocities(h, v1, v2, a)

```
(1) for j = 1 to n2 - 1
(2)   for i = 2 to n1 - 1
(3)     v1(i, j) = v1(i, j) + a * ((h(i-1, j) - h(i, j)) / Δx) Δt
(5)   endfor
(6) endfor
(7) for j = 2 to n2 - 1
(8)   for i = 1 to n1 - 1
(9)     v2(i, j) = v2(i, j) + a * ((h(i, j-1) - h(i, j)) / Δy) Δt
(10)  endfor
(11) endfor
```

M2R 42

Saint-Venant : intégration

- Shallow-water-step(h,v,g)
 - (1) $n = \text{Advect}(n, v)$
 - (2) $v1 = \text{Advect}(v1, v)$
 - (3) $v2 = \text{Advect}(v2, v)$
 - (4) $n' = \text{Update-height}(n, v)$
 - (5) $h = n' + g$
 - (6) $\text{Update-velocities}(h, v1, v2)$
 - (7) $n = n'$

M2R 43

OpenCL (wikipedia)

- **OpenCL** (**Open** Computing Language) est la combinaison d'une API et d'un langage de programmation dérivé du C, proposé comme un standard ouvert par le Khronos Group.
- OpenCL est conçu pour programmer des systèmes parallèles hétérogènes comprenant par exemple à la fois un CPU multi-cœur et un GPU.
- OpenCL propose donc un modèle de programmation se situant à l'intersection naissante entre le monde des CPU et des GPU, les premiers étant de plus en plus parallèles, les seconds étant de plus en plus programmables.

M2R 44

OpenCL

- OpenCL can accelerate code by a factor 10 or more
- OpenCL is an open standard
- OpenCL can help save power
- OpenCL can save you hardware cost
- OpenCL adoption is ramping up rapidly
- OpenCL may be used as the basis for generating custom hardware
- The OpenCL C99 language is based on C
- OpenCL can be used from a variety of host languages
- It is easy to start with OpenCL
- OpenCL is platform independent

<http://www.amdahlsoftware.com/ten-reasons-why-we-love-opencl-and-why-you-might-too/>

M2R 45

OpenGL / OpenCL : le TP

- Le code de départ
 - Carte de hauteur dans une texture 2D (GL)
 - Affichage GL avec un vertex shader
 - Vertex.glsl
 - kernel OpenCL modifie la texture
 - Texture 2D = vu comme une 'image2d'
 - CLWater.cl
 - Kernel = fonction appelée sur chaque case du tableau

M2R 46

OpenCL : un kernel

```
__kernel void shallowWaterInit( const int dimD,
                               __global __write_only image2d_t DD0 )
{
    const int x = get_global_id(0);
    const int y = get_global_id(1);

    if (x >= dimD) return; if (y >= dimD) return;
    const sampler_t sampler =
    CLK_NORMALIZED_COORDS_FALSE | CLK_ADDRESS_CLAMP |
    CLK_FILTER_NEAREST;

    float4 pixel={0,0,0,0};
    write_imagef( DD0, (int2)(x,y), pixel);
}
```

M2R 47

OpenCL : l'appel

```
clSetKernelArg( m_kernelShallowWater, 0, sizeof(Dim), (void*)&Dim);
clSetKernelArg( m_kernelShallowWater, 1, sizeof(D0), (void*)&D0);

const size_t localWorkSize[] = { LocalWorkSize, LocalWorkSize };
const size_t globalWorkSize[] = { Dim, Dim };

cl_uint workDim = 2;
clEnqueueNDRangeKernel ( m_queue, m_kernelShallowWaterInit,
                        workDim, NULL,
                        globalWorkSize, localWorkSize,
                        0, NULL, NULL);
```

M2R 48

TP animation physique de personnage avec BulletPhysics

TP

- Combiner MoCap et Ragdoll
 - Utiliser Bullet pour la physique
- Regardez le fichier Ragdoll.h/.cpp
 - Ce ragdoll doit avoir la même configuration que le squelette de la MoCap
 - Pour l'instant, c'est un squelette avec 2 membres (bras, avant-bras) qui sont entrés en dur.

M2R 50

TP : Lib BulletPhysics

- Le monde physique gérés par la lib
 - `btDynamicsWorld* m_dynamicsWorld;`
- ➔ Les objets physiques doivent y être ajoutés
- Dans le TP, il y a une class CAPhysics qui s'occupe du monde physique de Bullet avec
 - `computePhysics()` : calcul la physique depuis le dernier appel
 - `renderPhysics()` : affiche les objets physiques, appuyer sur 'P' dans le viewer pour les afficher
 - `createRigidBody(...)` : ajoute un objet rigide dans le monde physique et renvoie un pointeur dessus

M2R 51

TP : Lib BulletPhysics

- Ragdoll = ensemble de
 - `vector<btRigidBody*> m_bodies;`
 - Solides rigides
 - `vector<btCollisionShape*> m_shapes;`
 - Les formes pour les collisions (optionnel)
 - `vector<btTypedConstraint*> m_jointsConstraint;`
 - Les articulations

M2R 52

TP : Lib BulletPhysics

- Bullet gère les transformations
 - `btTransform transform;`
 - Rotation + translation
 - Construit avec un quaternion + un vecteur
 - `btTransform t(q, v)`
 - Construit avec une matrice 3x3 + vecteur*
 - ...
 - Toutes les fonctions dont vous avez besoin sont disponibles ...

M2R 53

TP : Lib BulletPhysics

- Créer un corps solide `btRigidBody`
 - Utiliser la fonction de CAPhysics


```
btRigidBody* CAPhysics::createRigidBody(
    float mass,
    const btTransform& startTransform,
    btCollisionShape* shapeForCollision)
```
- Créer une forme pour les collisions


```
new btCapsuleShape( rayon, hauteur );
```

M2R 54

TP : Lib BulletPhysics

■ Créer une articulation

```
coneC = new btConeTwistConstraint(A, B, localA, localB);
```

- A et B sont des `btRigidBody`
- `localA` et `localB` sont des `btTransform` relatif à au repère local du `btRigidBody`

■ Articulation avec des contraintes en forme de Cone

■ Il existe d'autres types d'articulation

- `btHingeConstraint` : mouvement dans le plan type doude
- ...

■ Ne pas oublier d'ajouter les articulations au monde physique

- `m_physics.get DynamicsWorld()->addConstraint(coneC, true);`
- `true` pour ne pas calculer de collision entre 2 `btRigidBody` relié par l'articulation

M2R 55

TP : Lib BulletPhysics

■ Regardez les 2 exemples dans CARagdoll.h

M2R 56